

1/23

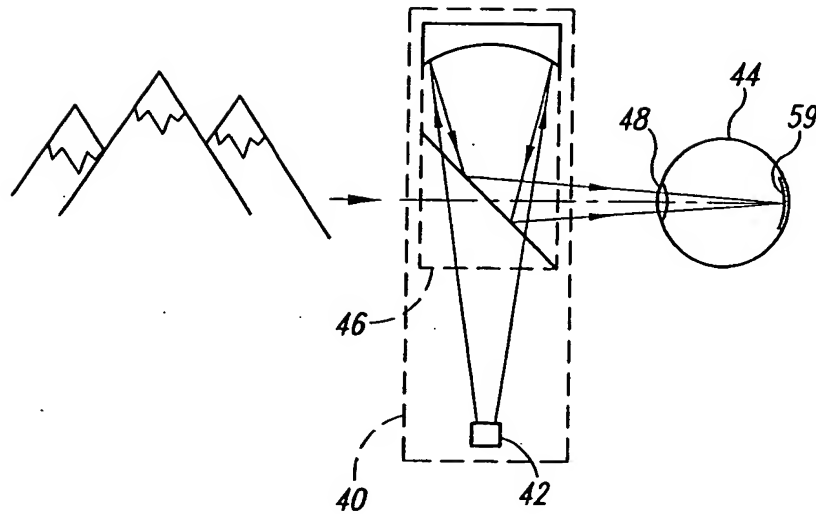


Fig. 1

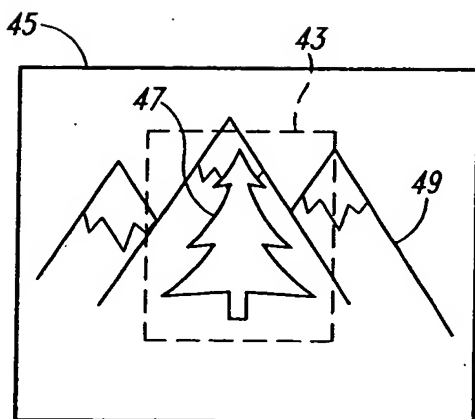


Fig. 2A

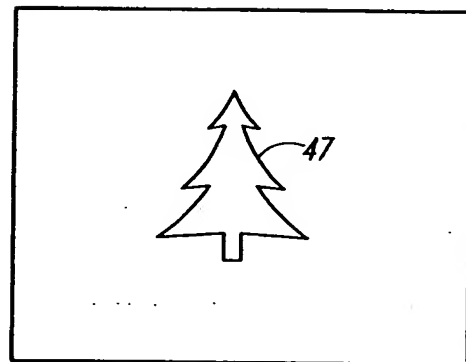


Fig. 2B

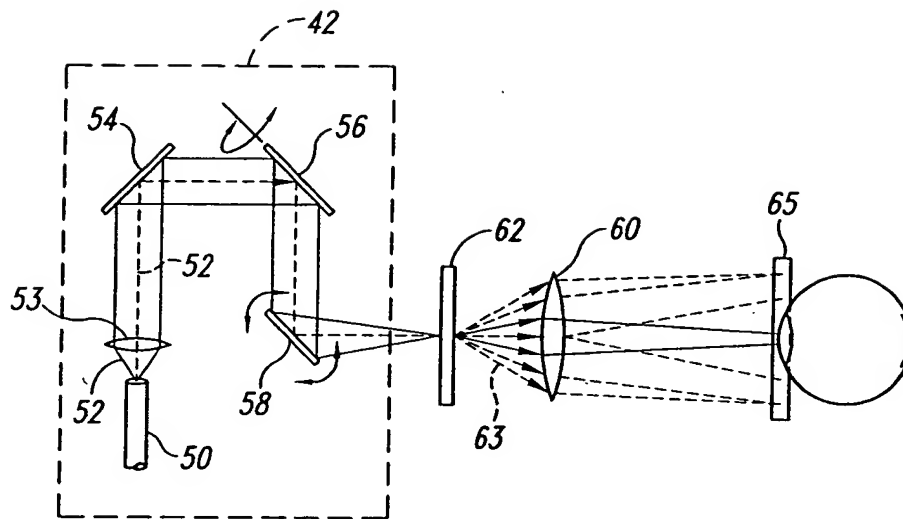


Fig. 3

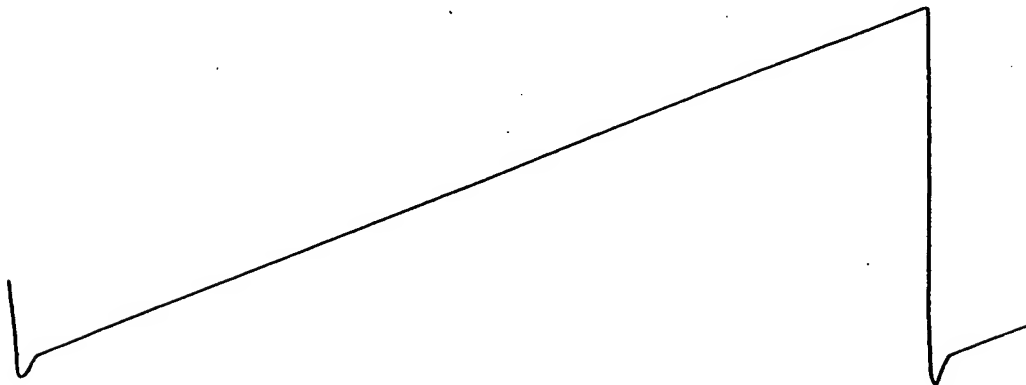


Fig. 4A

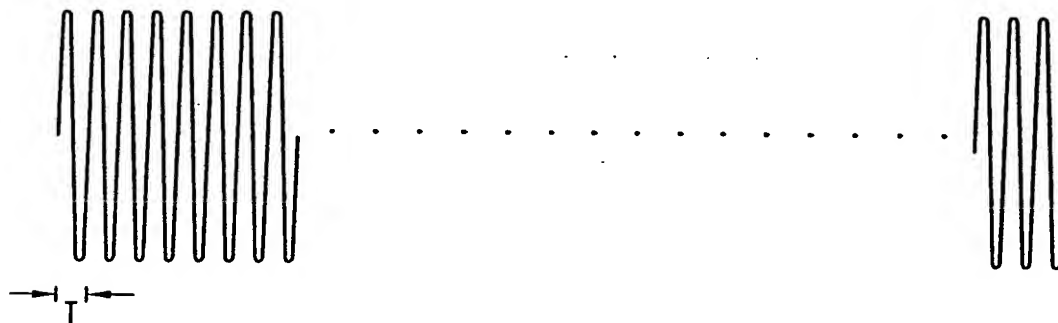


Fig. 4B

3/23

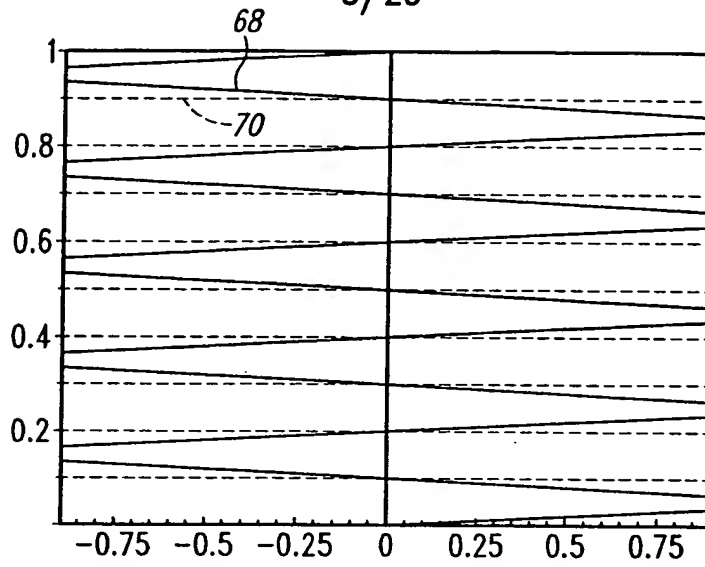


Fig. 5

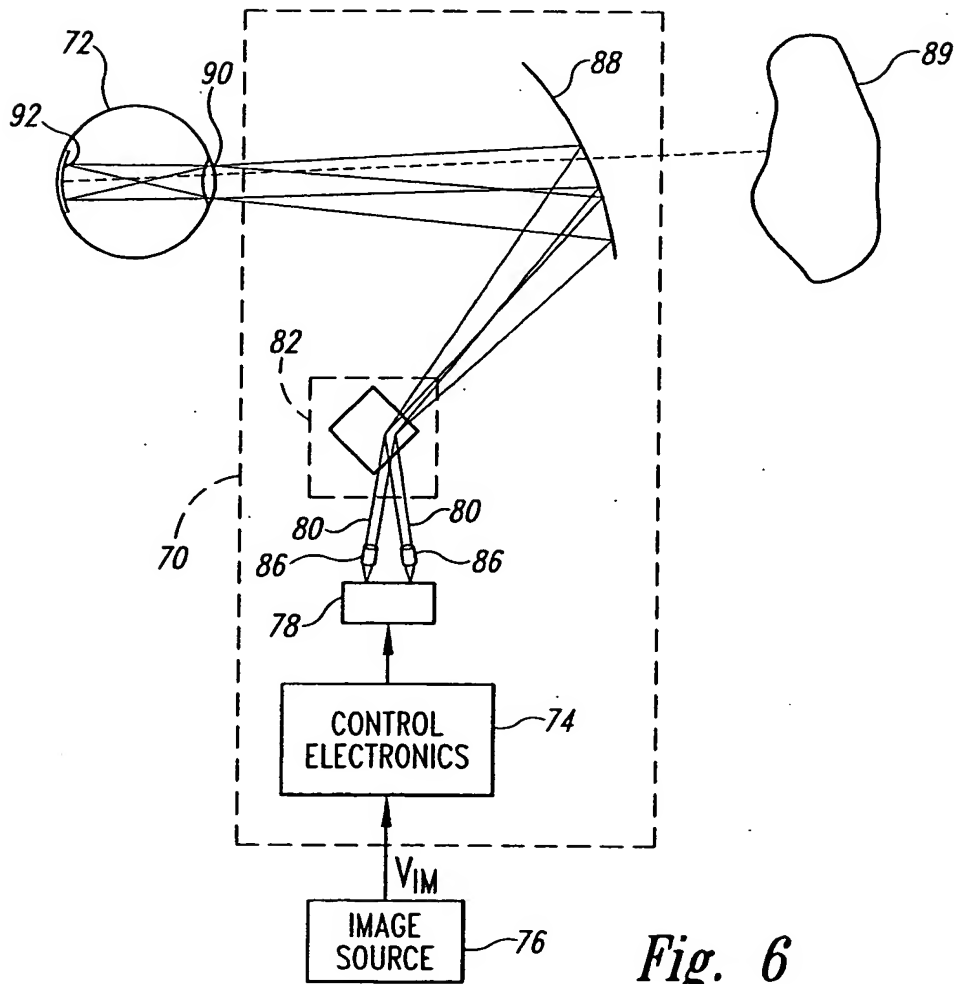
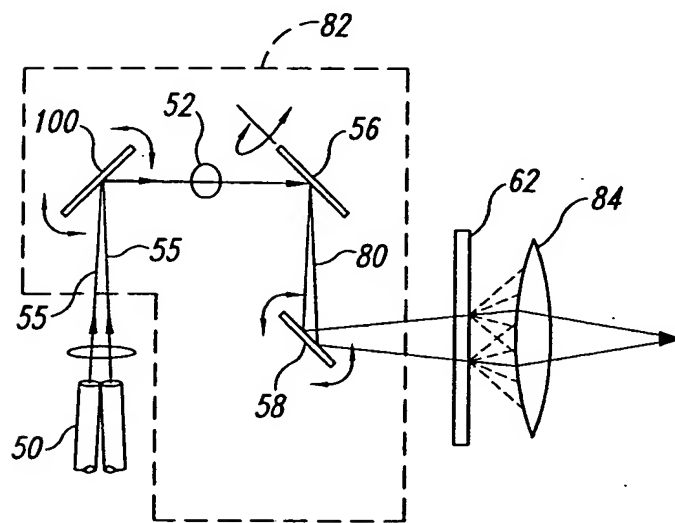
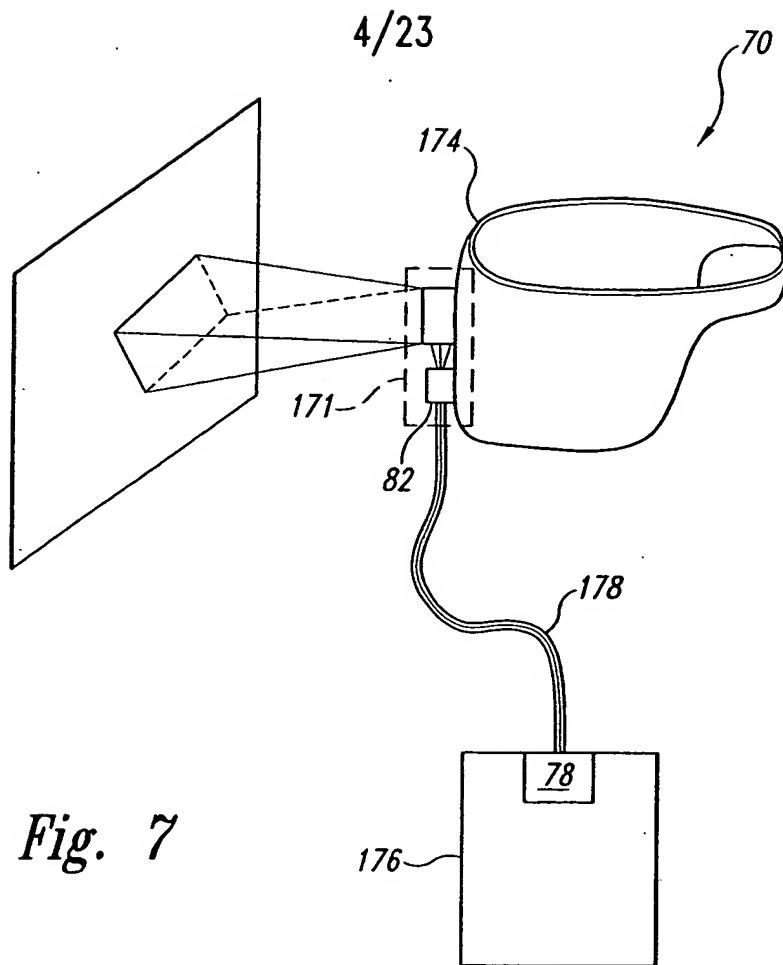


Fig. 6



5/23

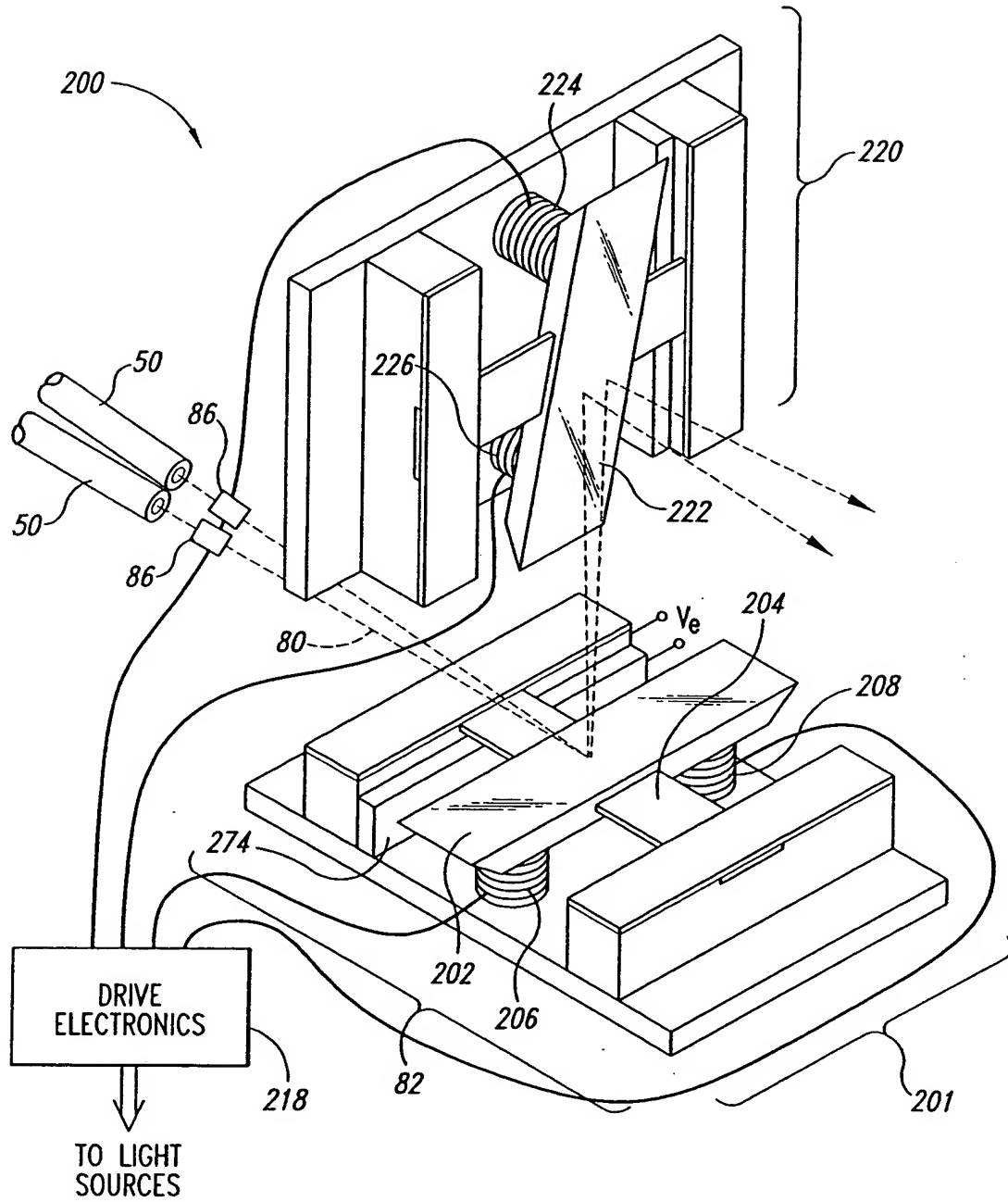
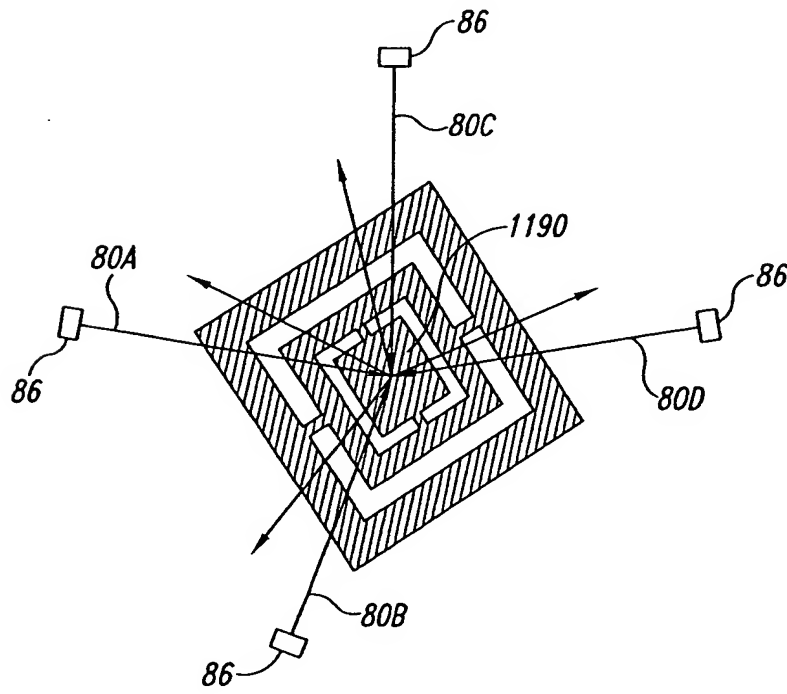
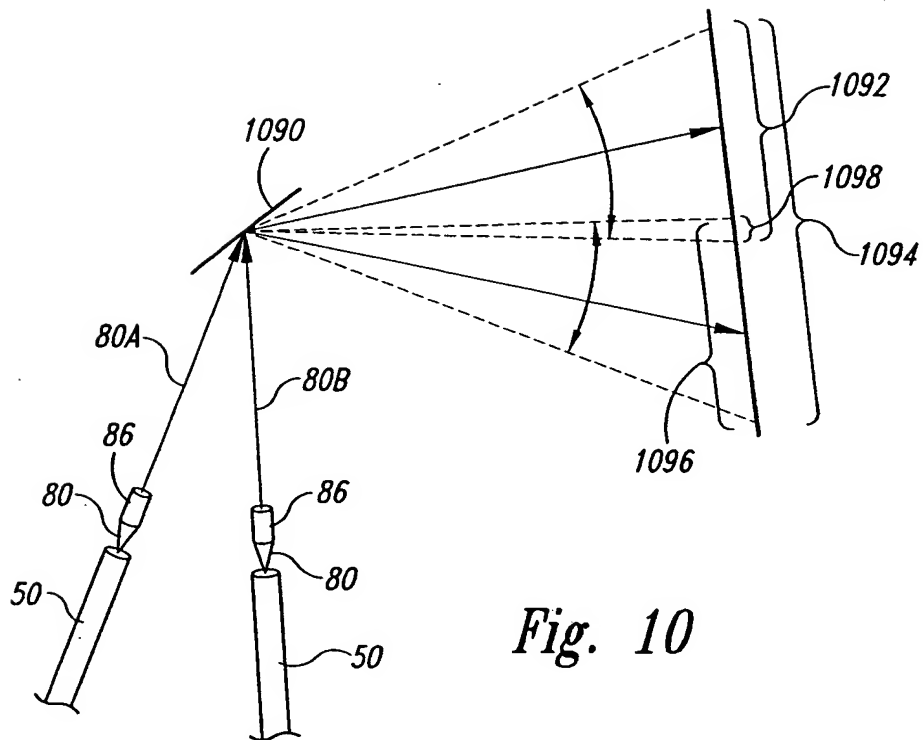


Fig. 9

6/23



7/23

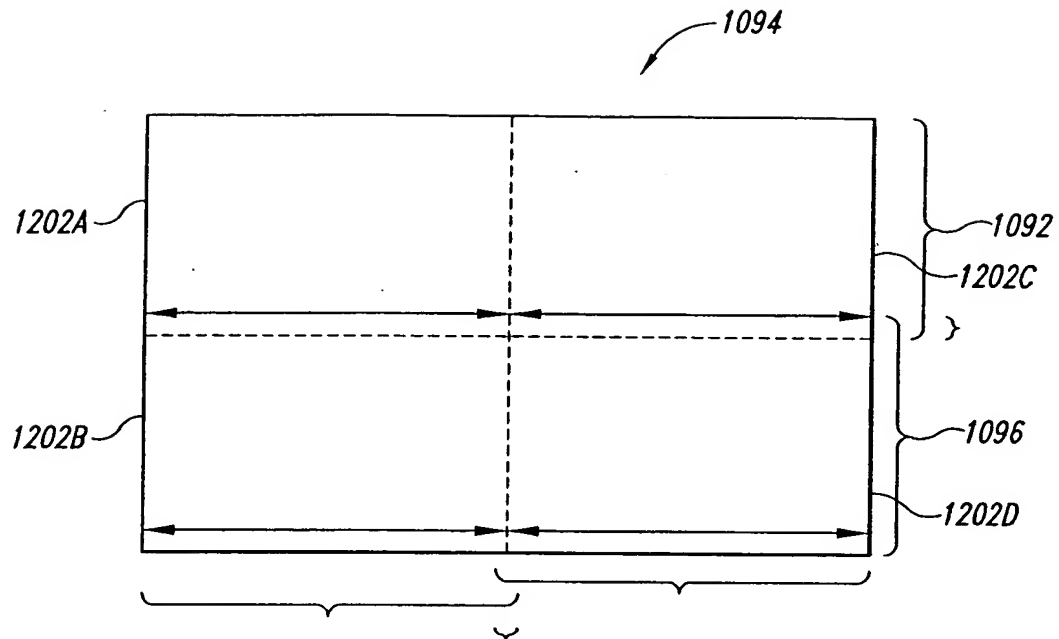


Fig. 12

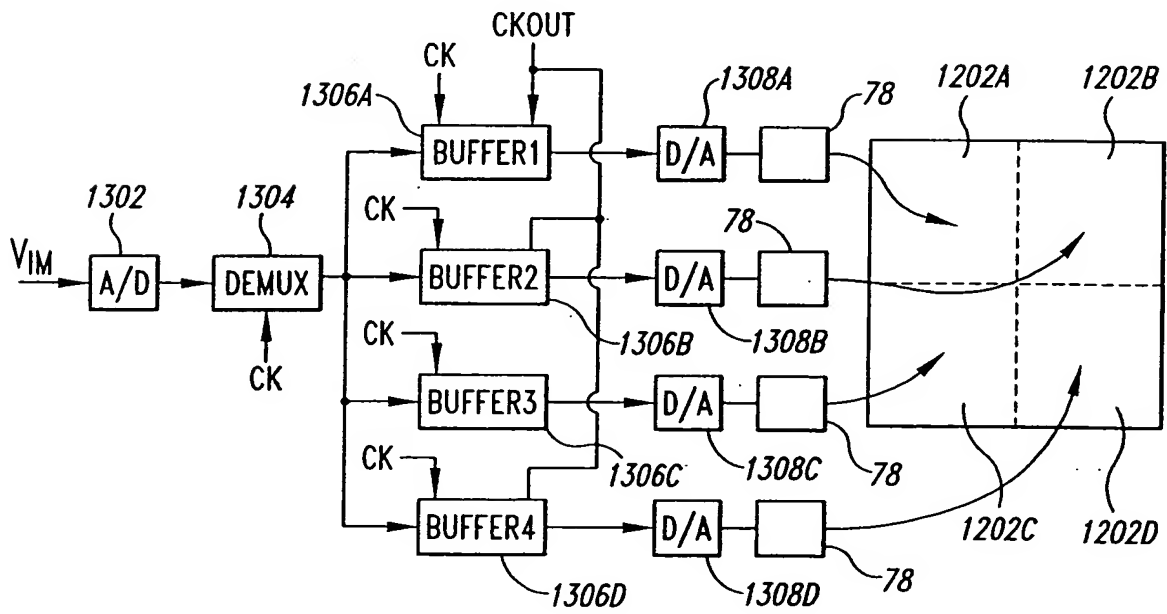


Fig. 13

8/23

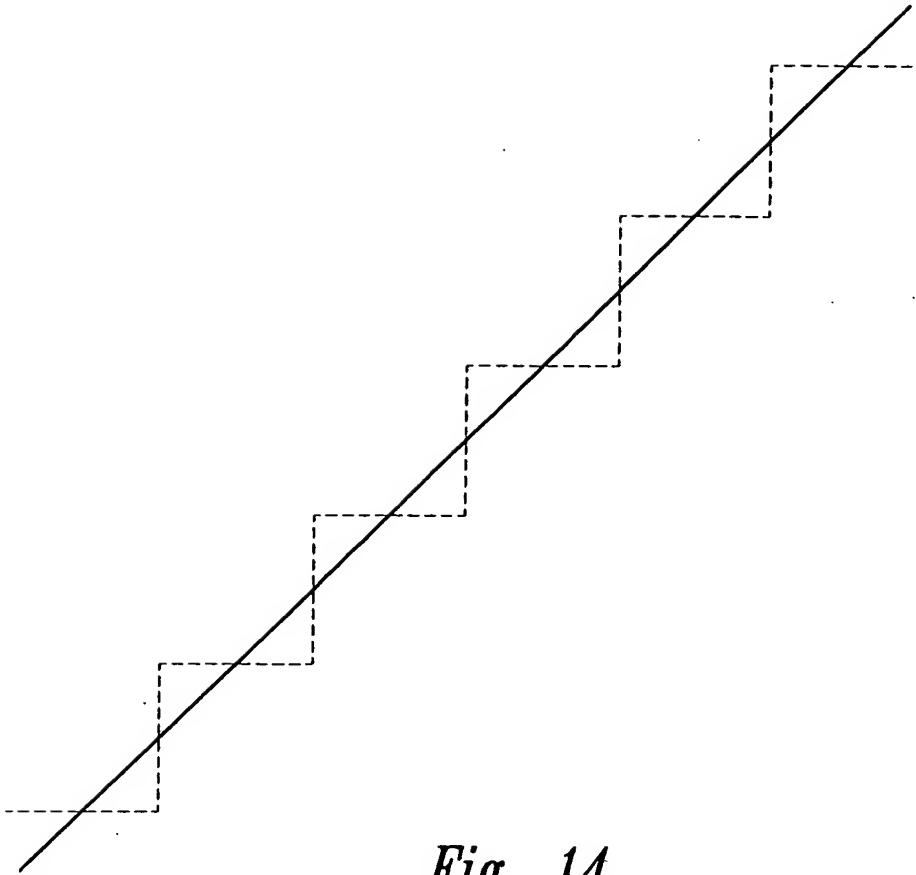


Fig. 14

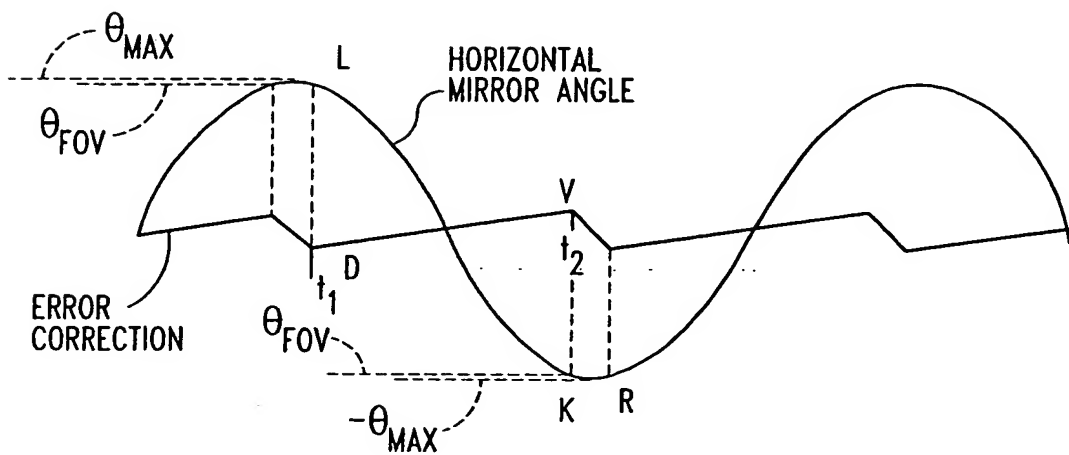


Fig. 15

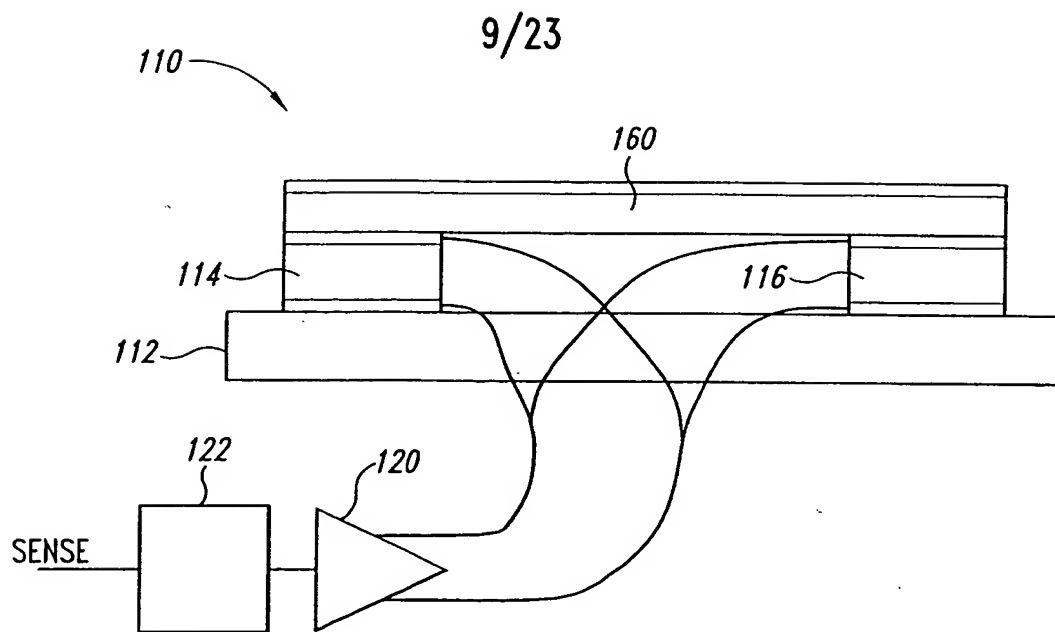


Fig. 16

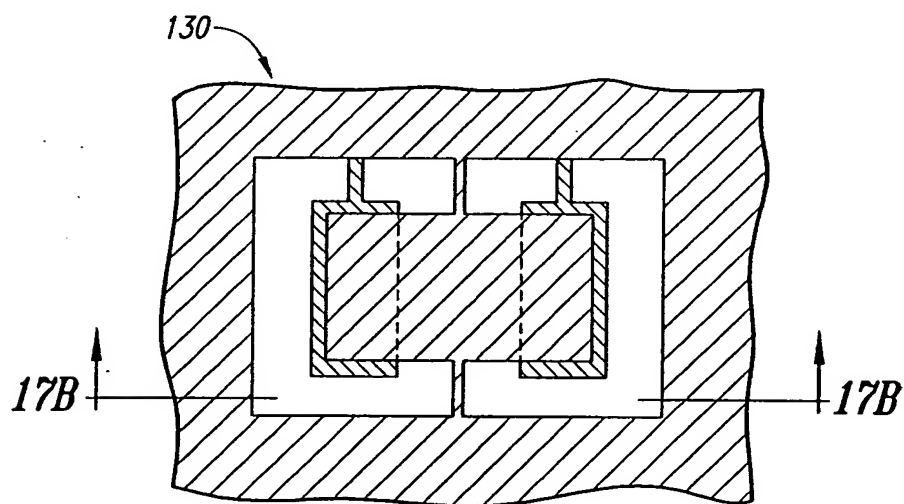


Fig. 17A

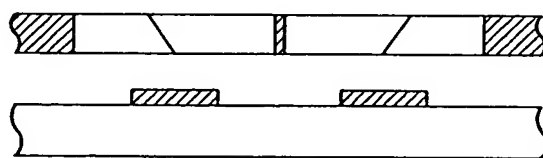


Fig. 17B

10/23

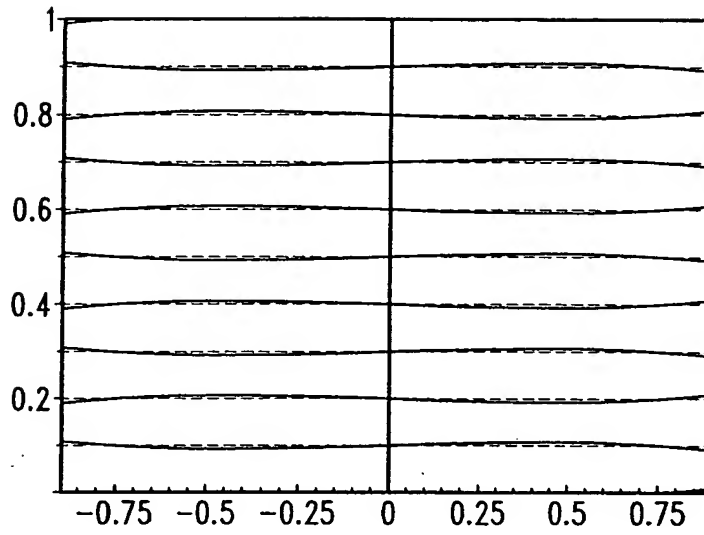


Fig. 18

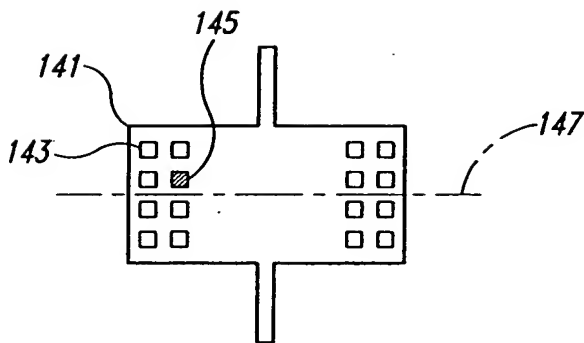


Fig. 19

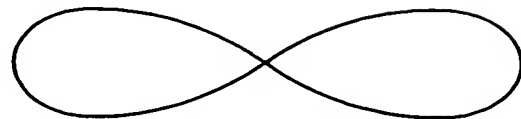


Fig. 20

11/23

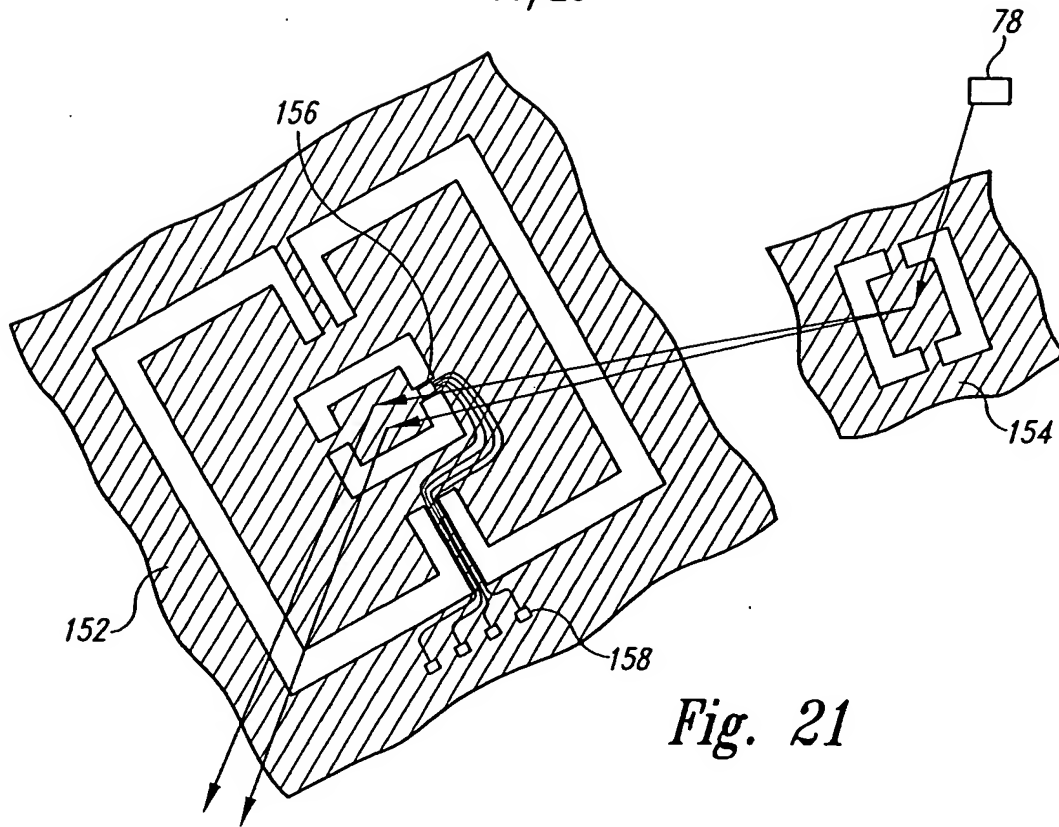


Fig. 21

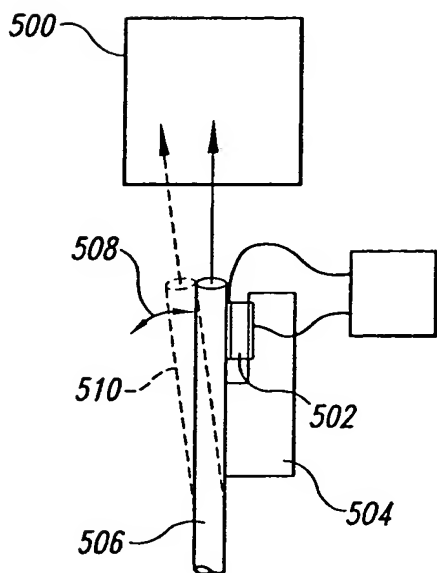


Fig. 22

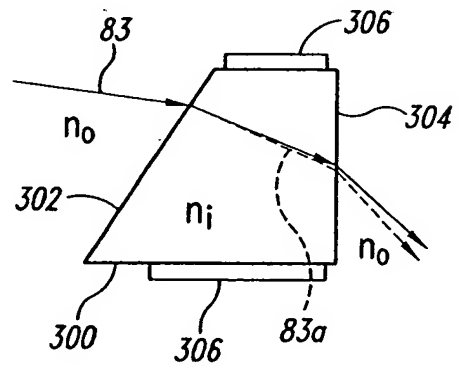


Fig. 23

12/23

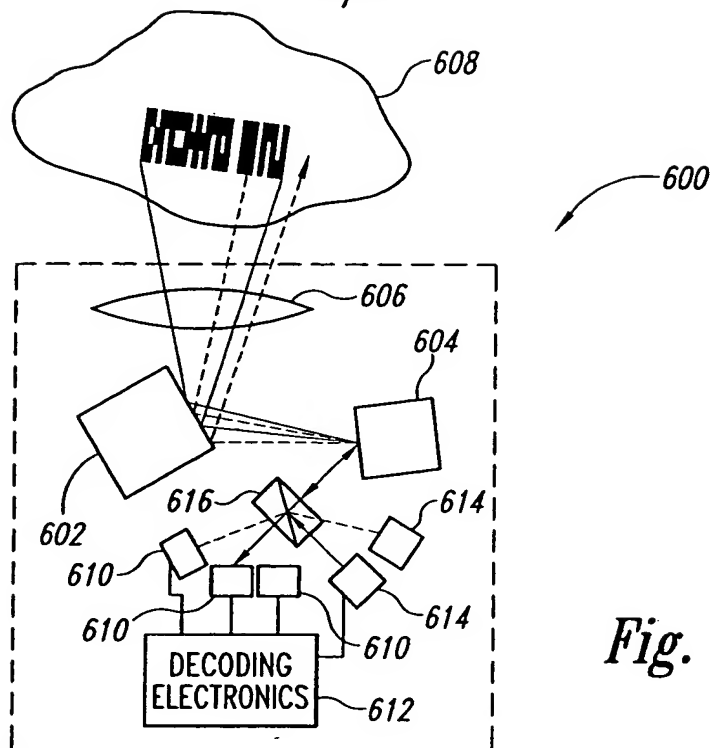


Fig. 24

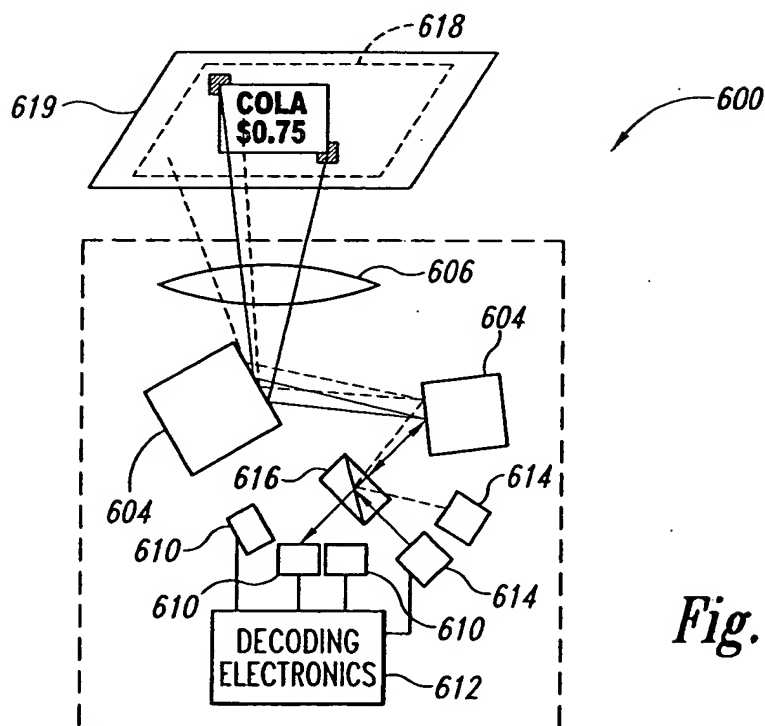


Fig. 25

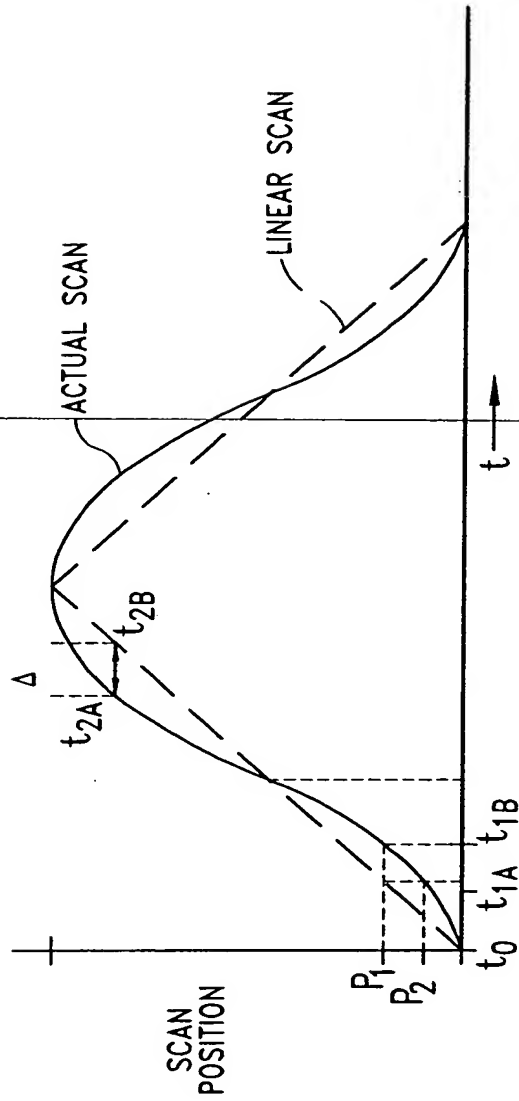


Fig. 26

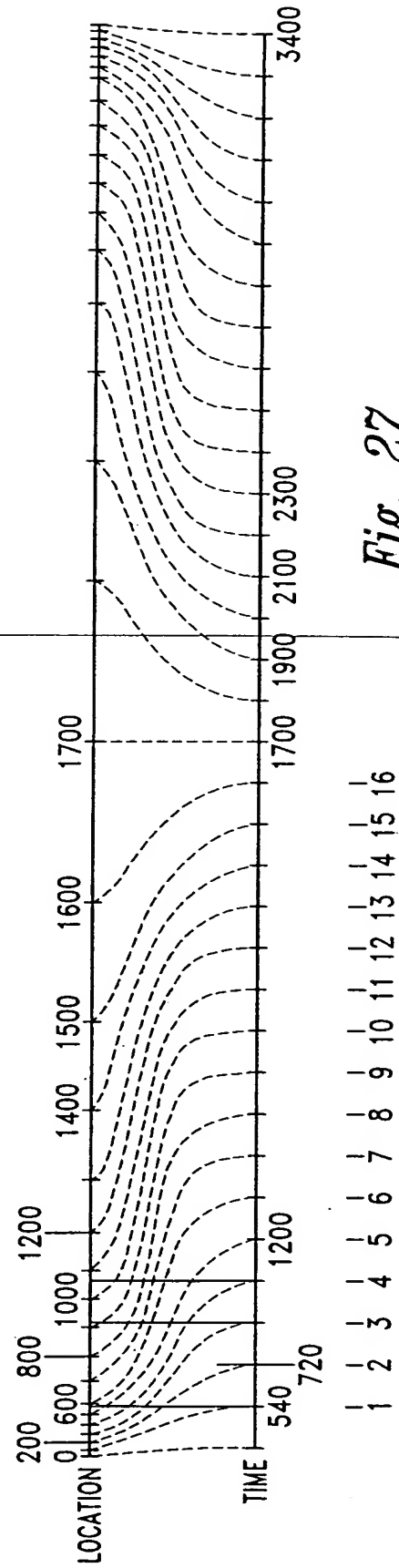


Fig. 27

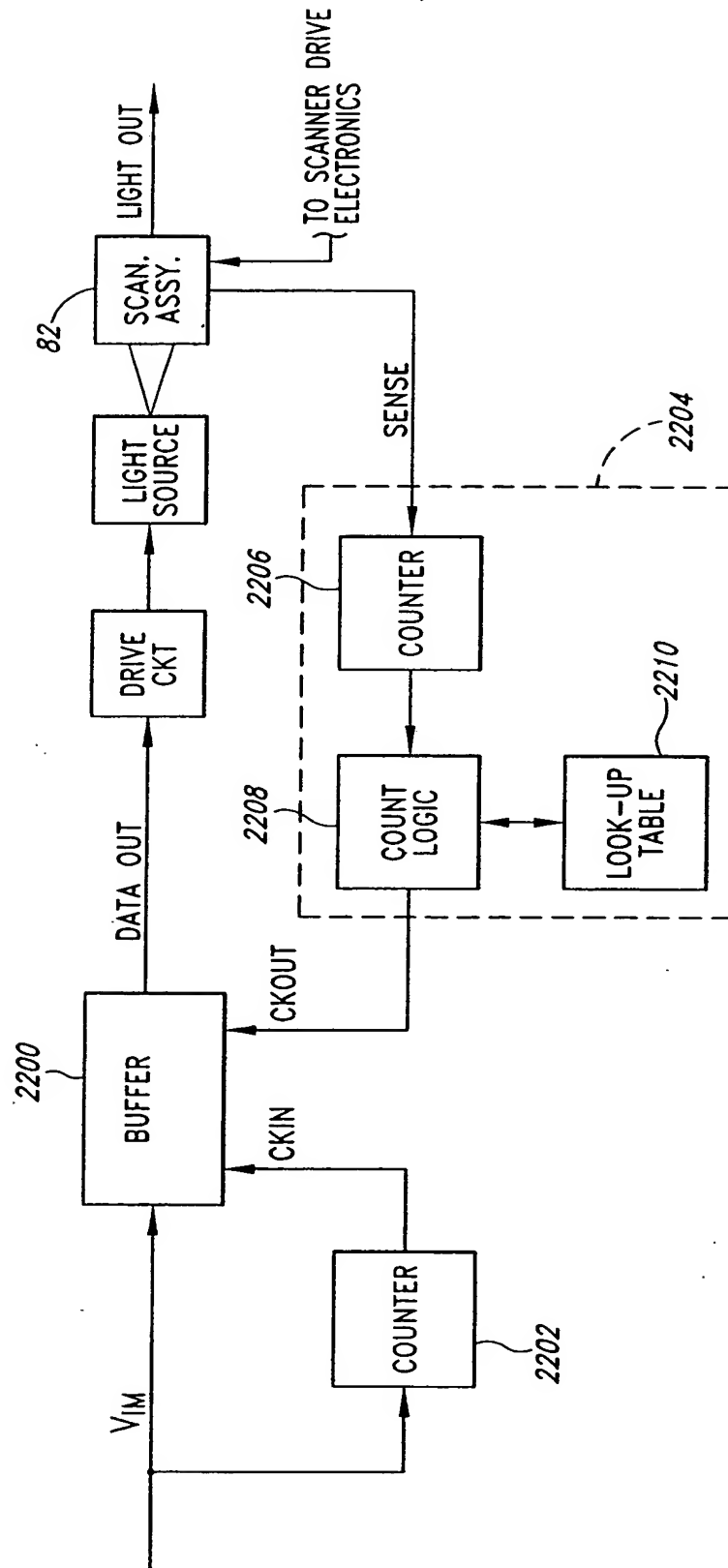


Fig. 28

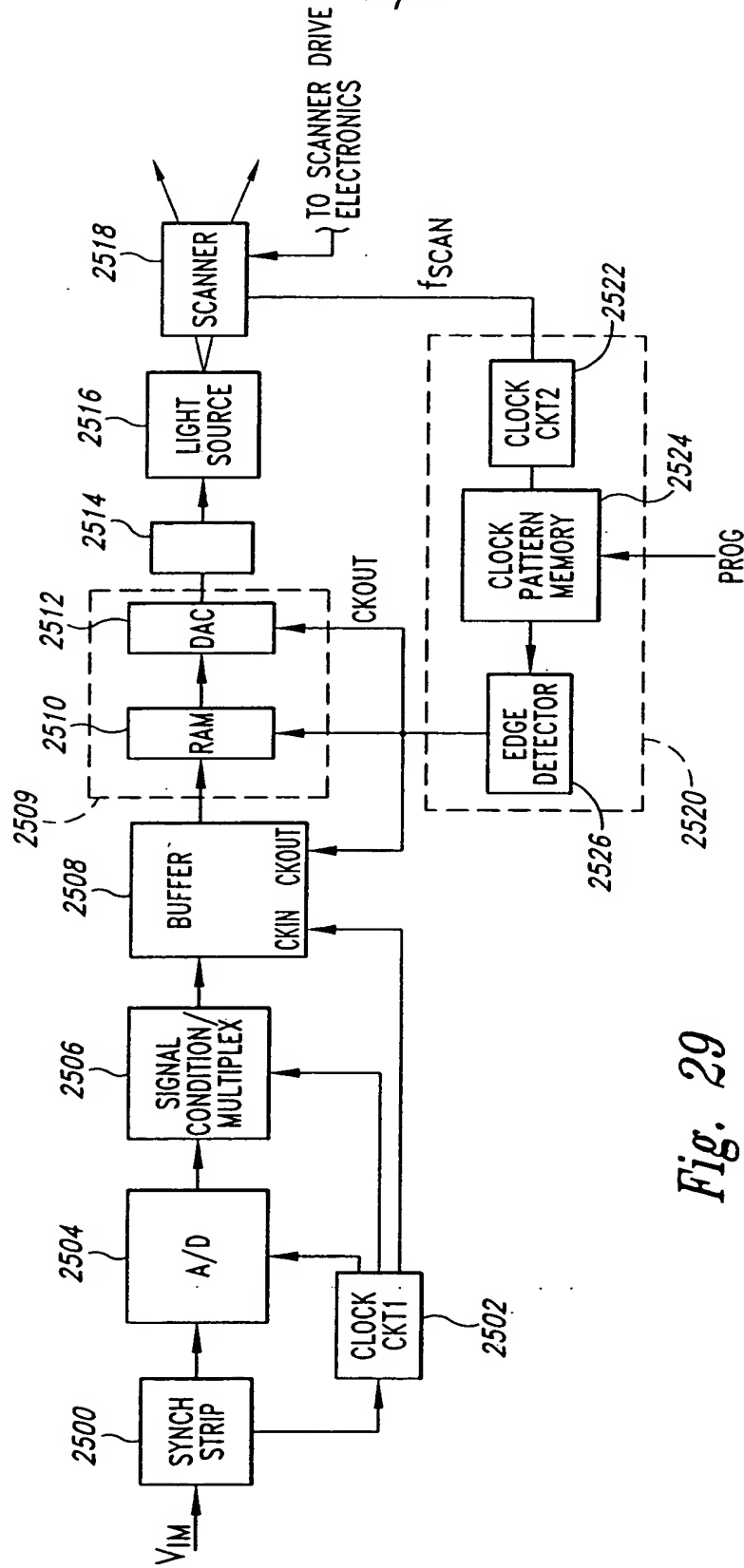


Fig. 29

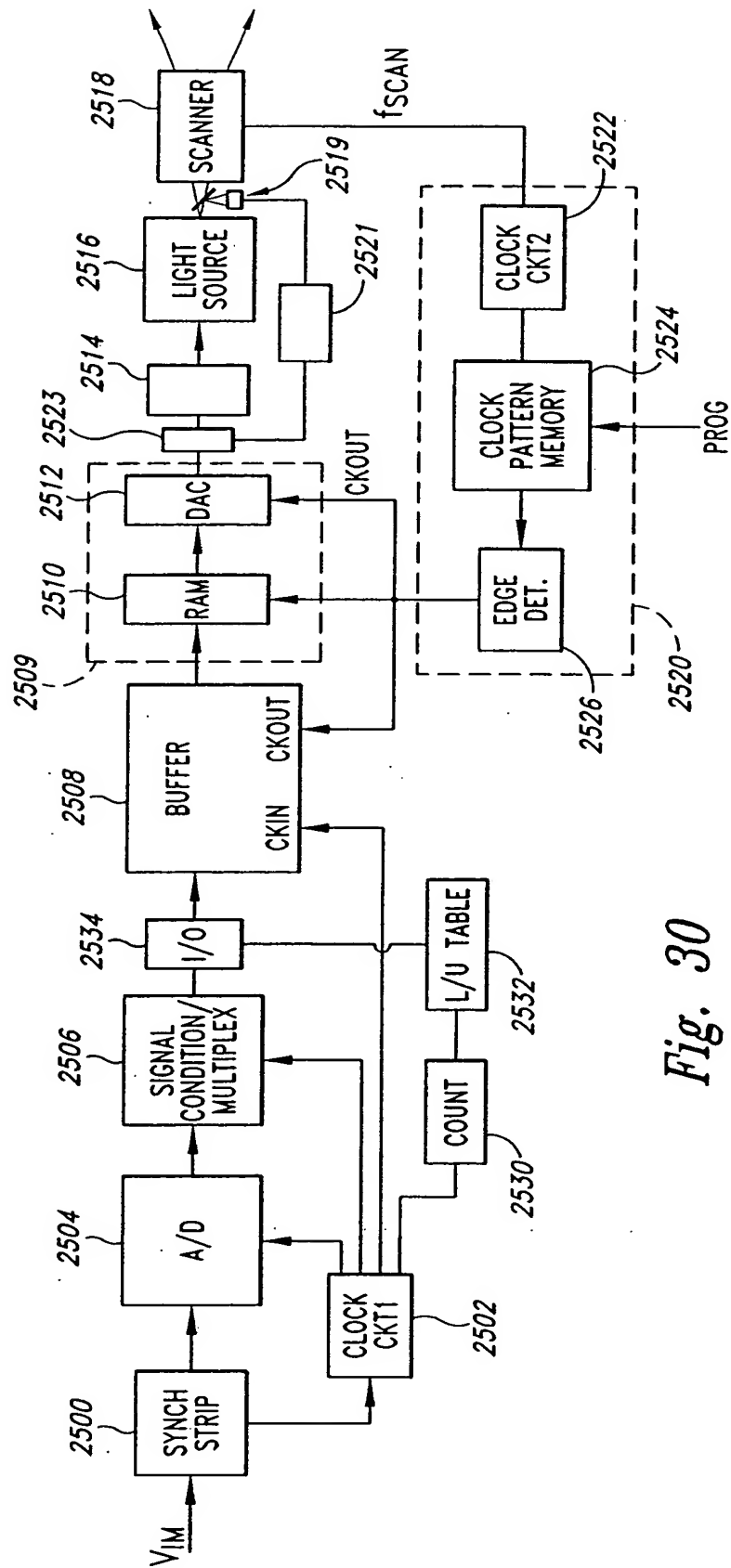


Fig. 30

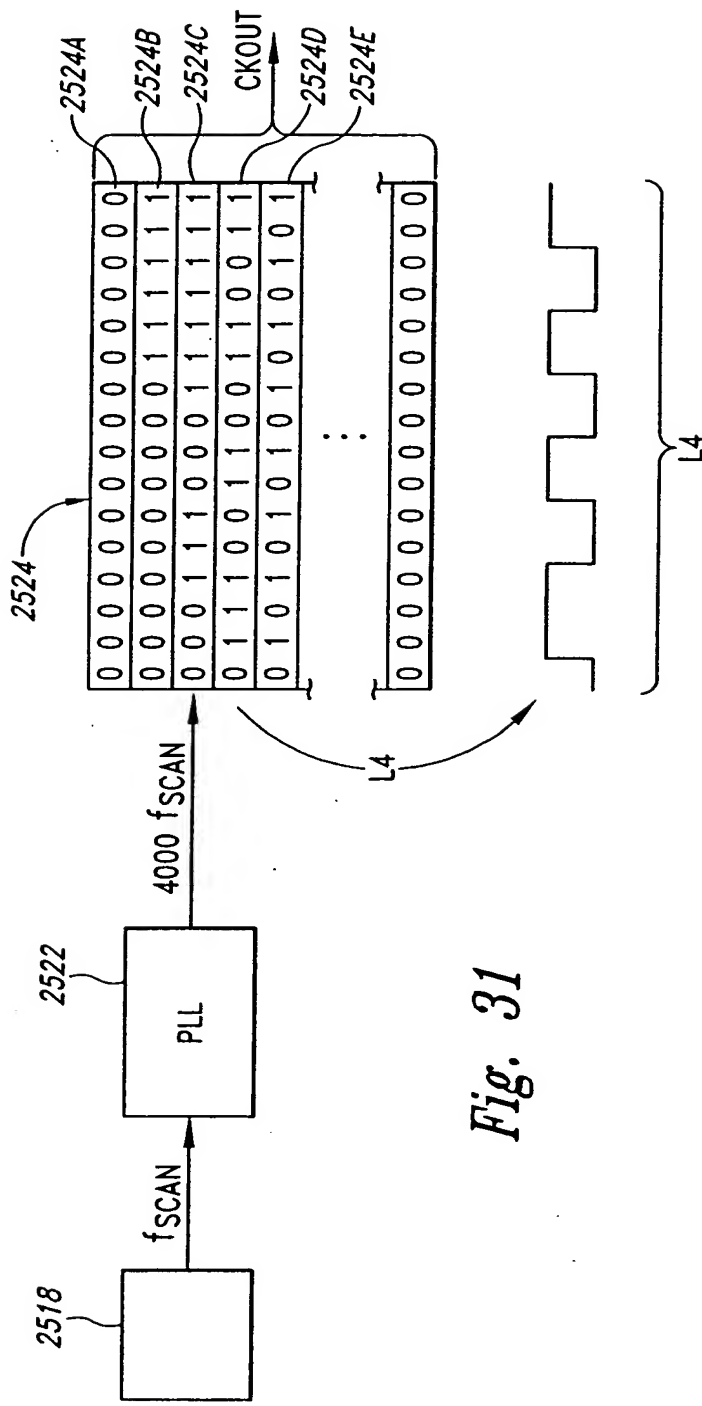


Fig. 31

3202

B _{0,0}	B _{0,1}	B _{0,2}	0	0	0	0	0	0	0	0
B _{1,0}	B _{1,1}	B _{1,2}	B _{0,3}	B _{0,4}	B _{0,5}	B _{0,6}	B _{0,7}	0	0	0
B _{2,1}	B _{2,2}	B _{2,3}	B _{1,3}	B _{1,4}	B _{1,5}	B _{1,6}	B _{1,7}	B _{0,8}	B _{0,9}	B _{0,10}

3204

3206

Fig. 32

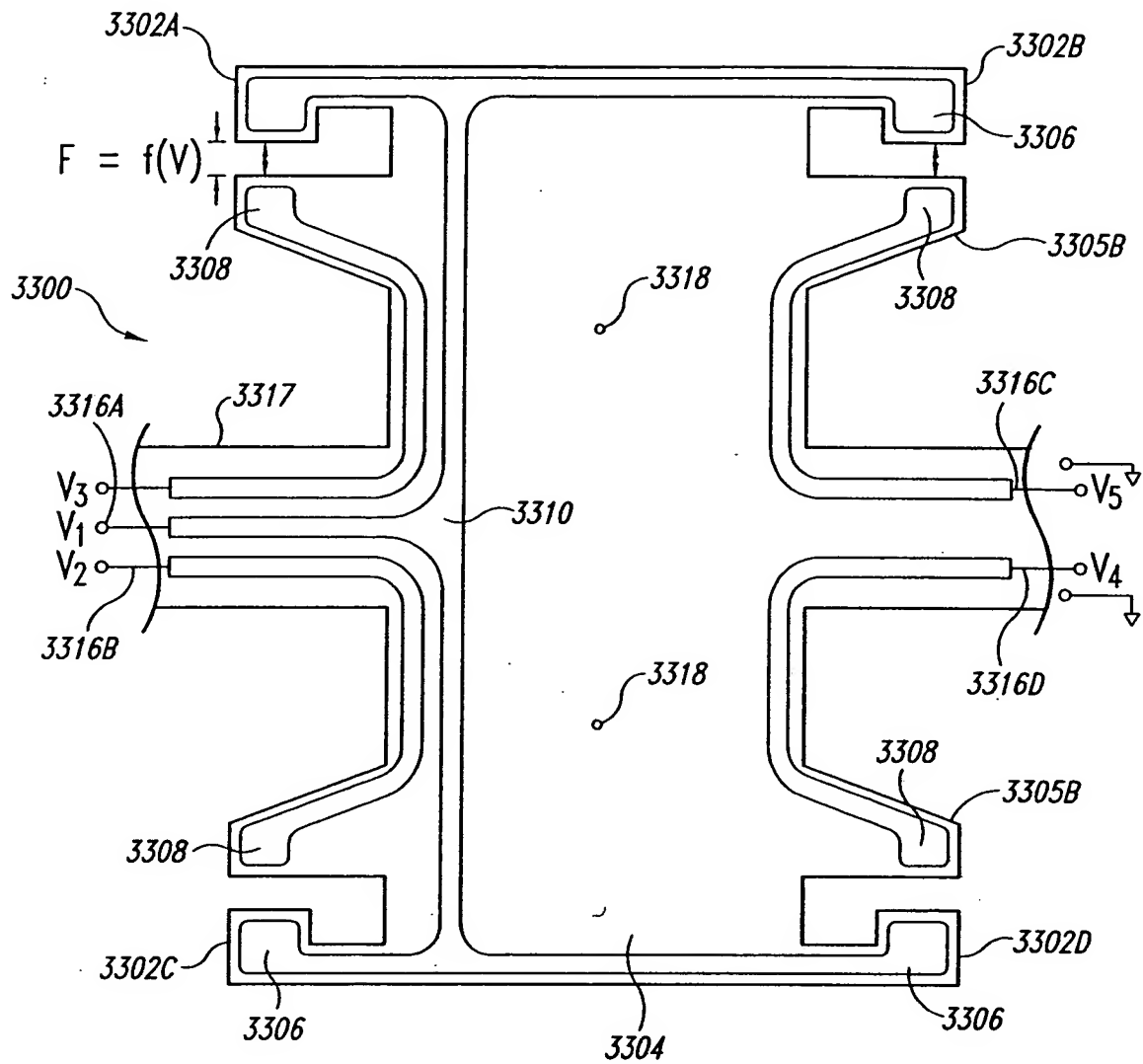


Fig. 33

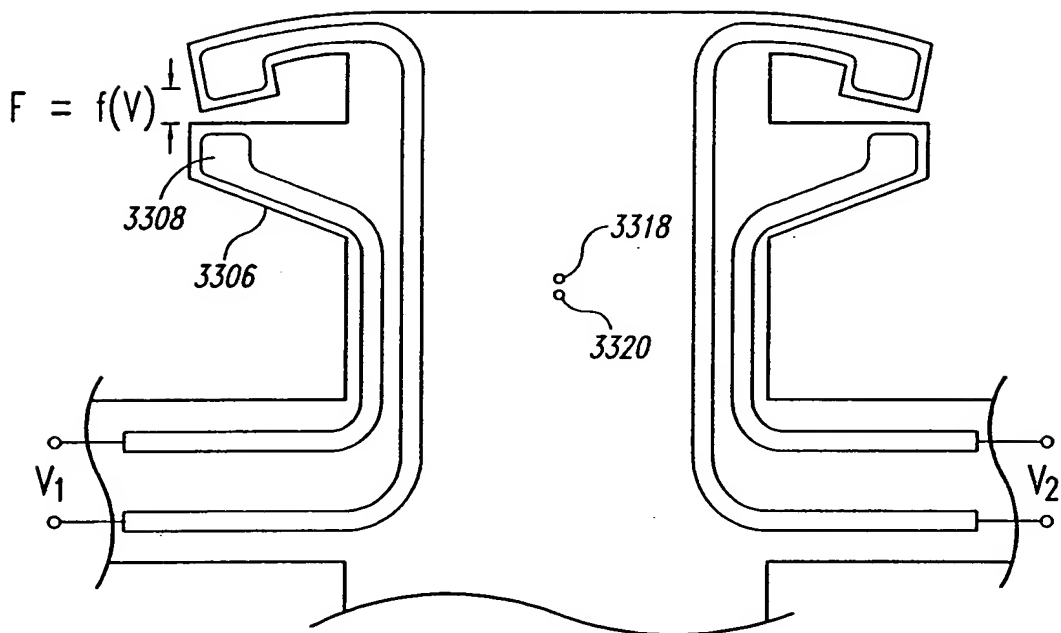


Fig. 34

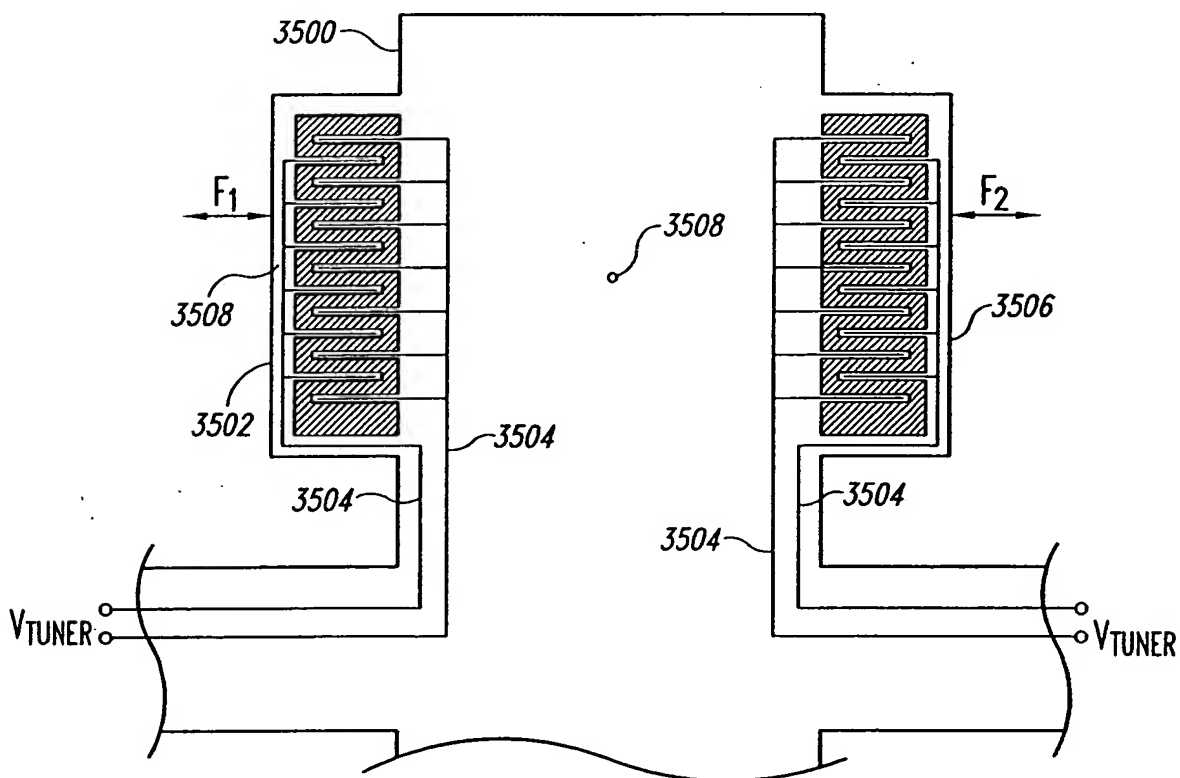
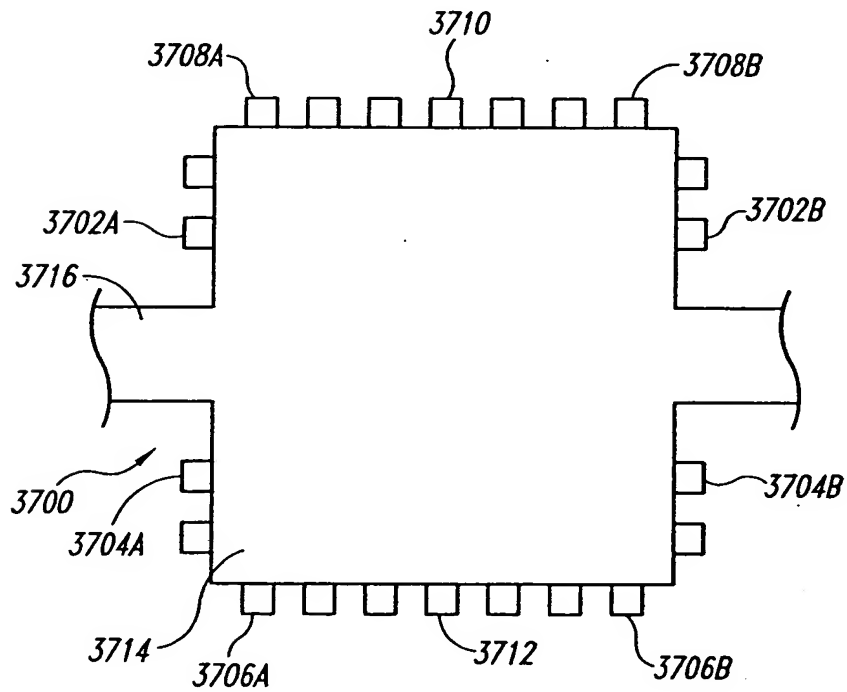
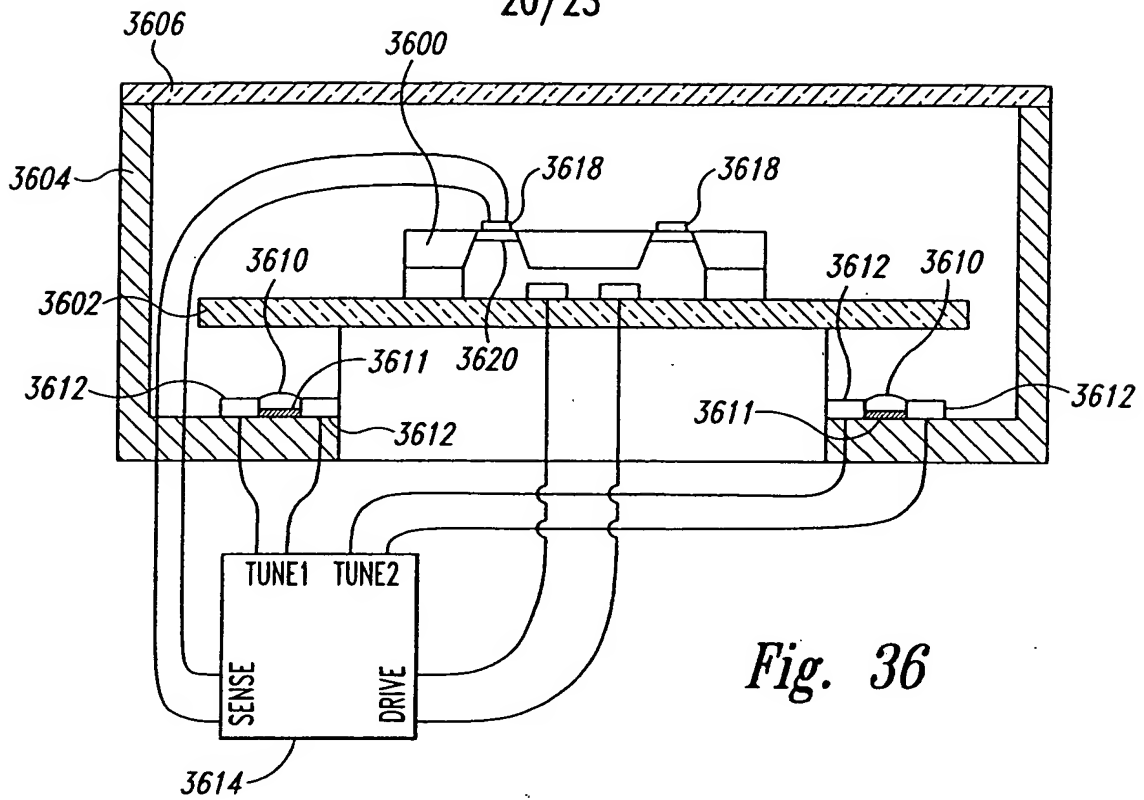


Fig. 35

20/23



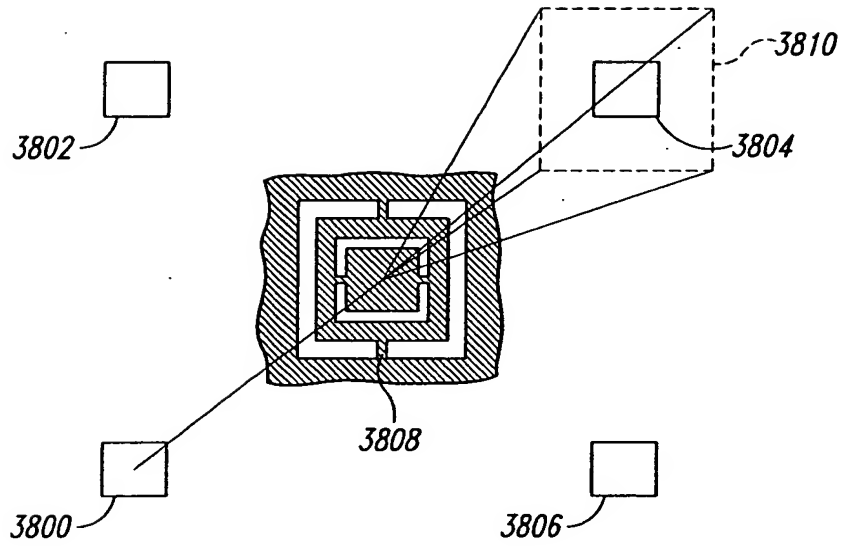


Fig. 38

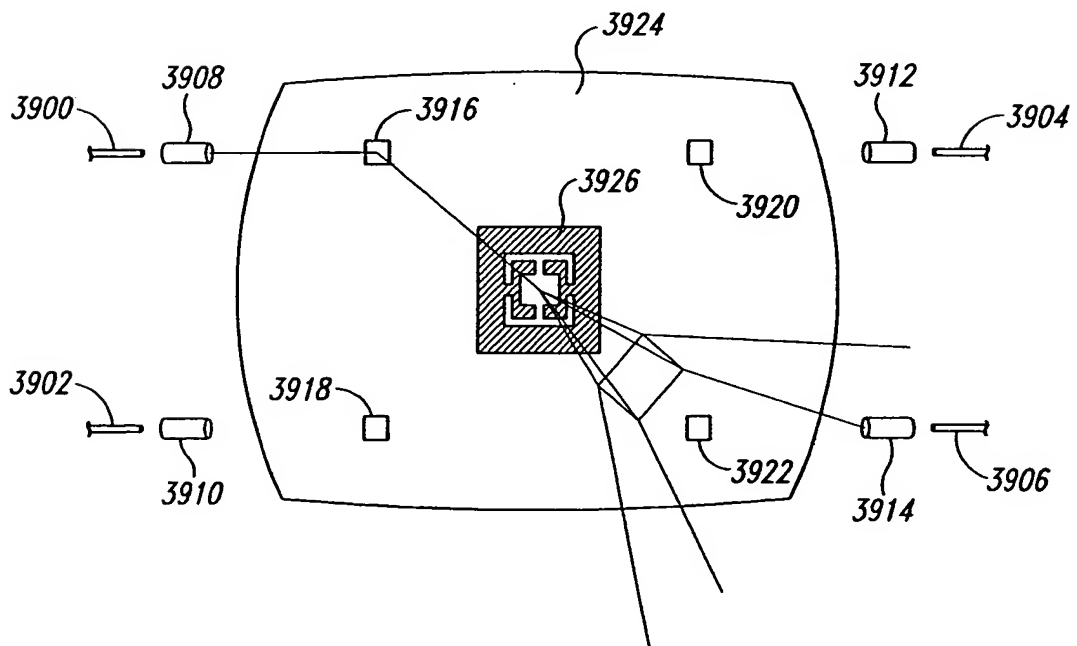


Fig. 39

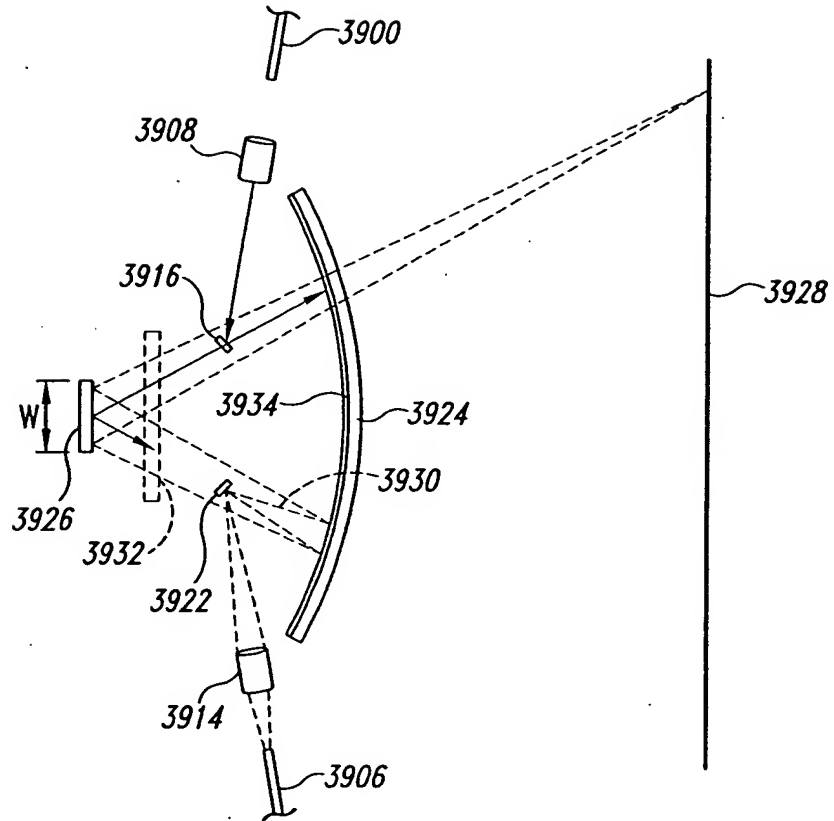


Fig. 40

